

Diagnóstico físico e químico do solo em lavouras sob sistema plantio direto no Planalto Serrano de Santa Catarina e nos Campos de Cima da Serra do Rio Grande do Sul

André Julio do Amaral¹, José Eloir Denardin¹, Anderson Santi¹, Vanderlise Giongo¹ e Fabrício Jardim Hennigen²

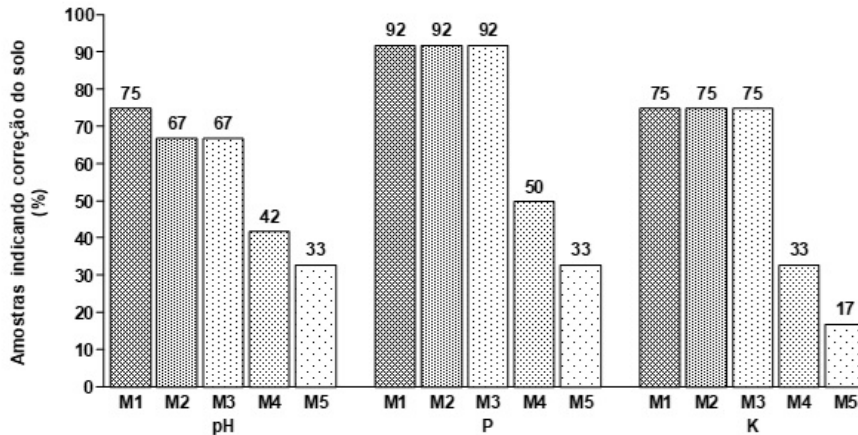


Figura S1. Percentual de amostras de solo indicando necessidade de correção química do solo, em razão dos níveis críticos de pH, fósforo (P) e potássio (K), coletadas por diferentes métodos, em lavouras conduzidas sob sistema plantio direto, localizadas no Rio Grande do Sul e em Santa Catarina.

Figure S1. Percentage of soil samples indicating soil chemical correction, due to critical levels of pH, phosphorus (P) and potassium (K), by different methods, in crops under

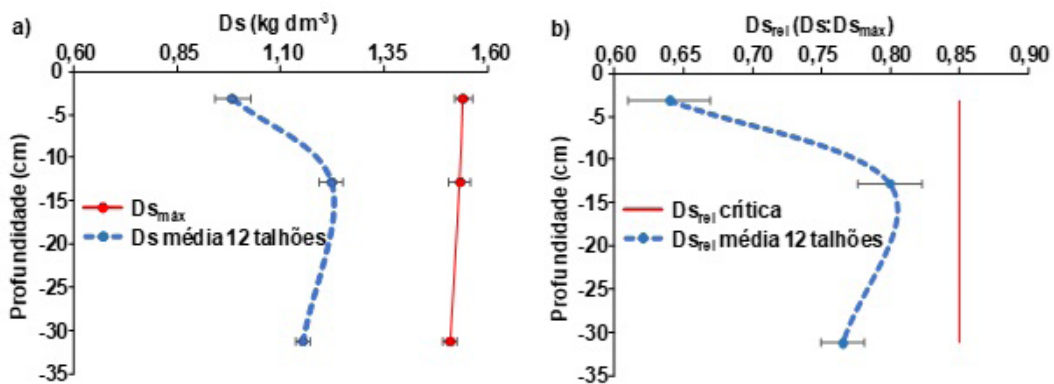


Figura S2. Valores médios de densidade do solo e densidade máxima do solo (a) e de densidade relativa do solo e densidade relativa crítica do solo (b) de 12 talhões de lavoura manejados sob sistema plantio direto contemplados pelo projeto. Obs.: barras horizontais representam o intervalo de confiança da média ($p < 0,05$).

Figure S2. Average values of soil density and maximum soil density (a) and relative soil density and critical relative soil density (b) of 12 crop plots managed under no-tillage system. Note: horizontal bars represent the confidence interval of the mean ($p < 0.05$).

Recebido em 01/11/2023. Aceito para publicação em 24/05/2024.

Editora de seção: Marlise Nara Ciotta

¹ Eng.-agr. Pesquisador da Empresa Brasileira de Pesquisa Agropecuária – Embrapa. Rodovia BR 285, km 294 Caixa Postal 308199050-970, Passo Fundo, RS. E-mail: andre.amaral@embrapa.br, jose.denardin@embrapa.br, anderson.santi@embrapa.br, vanderlise.giongo@embrapa.br ² Eng.-agr. Gerente de Assistência Técnica da Cooperativa Regional Agropecuária de Campos Novos – Copercampos. Rodovia BR 282 - Km 342 - Nº 23, Bairro Boa Vista - Caixa Postal 161 CEP 89620-000, Campos Novos, SC. E-mail: fabricio.hennigen@copercampos.com.br

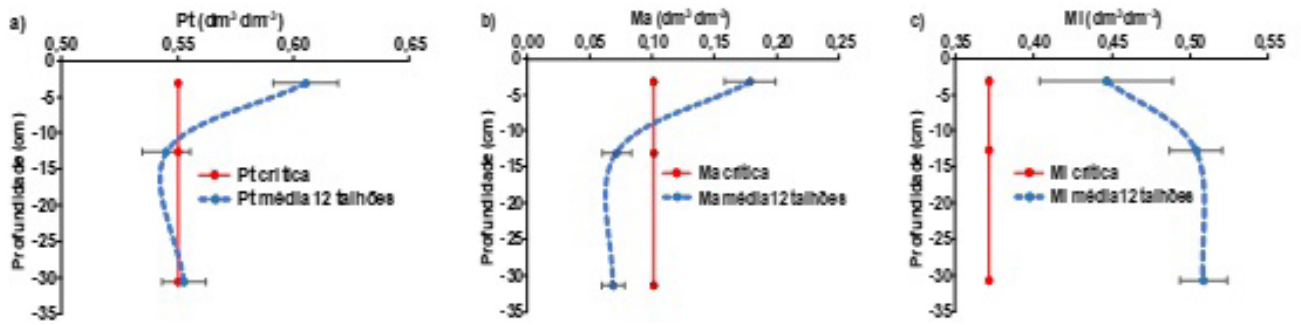


Figura S3. Valores médios da porosidade total (Pt em a), macroporosidade (Ma em b) e microporosidade (Mi em c) dos solos de 12 talhões de lavoura manejados sob sistema plantio direto contemplados pelo projeto. Obs.: barras horizontais representam o intervalo de confiança da média ($p < 0,05$).

Figure S3. Average values of total porosity (Pt - a), macroporosity (Ma - b) and microporosity (Mi - c) in 12 crop plots managed under no tillage system. Note: horizontal bars represent the confidence interval of the mean ($p < 0.05$).

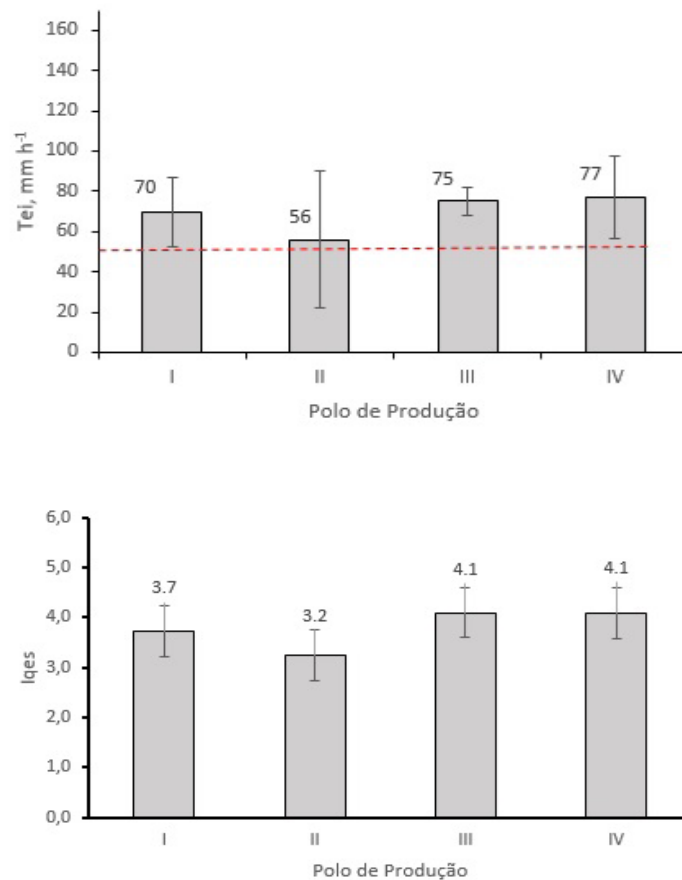


Figura S4. Taxa estável de infiltração de água no solo (Tei - a) e índice de qualidade estrutural do solo (Iqes - b) nos 12 talhões avaliados (T1 a T12), agrupados pelos polos de produção: Polo I: (T1 a T3); b) Polo II: (T4 a T6); c) Polo III: (T7 a T9); d) Polo IV: (T10 a T12). Barras representam o desvio padrão. Linha tracejada nível crítico Tei (50 mm h⁻¹) e Iqes (4).

Figure S4. Soil stable rate infiltration of water in soil (Tei - a) and soil structural quality index (Iqes - b) in the 12 plots evaluated (T1 to T12), grouped by production poles: Pole I: (T1 to T3); b) Pole II: (T4 to T6); c) Pole III: (T7 to T9); d) Pole IV: (T10 to T12). Bars represent standard deviation. Dashed line critical level Tei (50 mm h⁻¹) and Iqes (4).

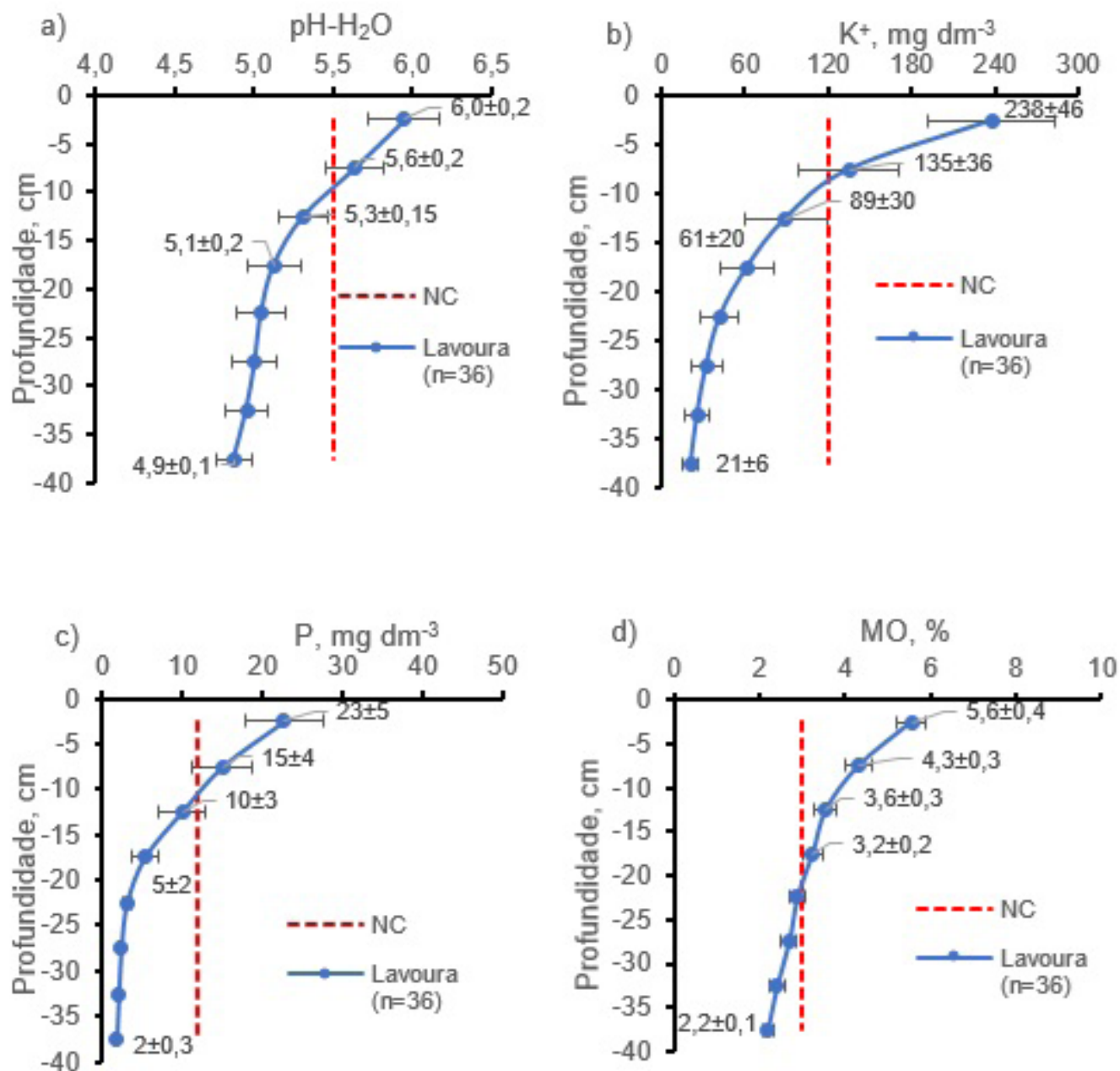


Figura S5. Valores médios (n=36) da reação do solo (a - pH-H₂O), de potássio (b - K⁺), de fósforo (c - P) e de matéria orgânica no solo (d - MO), nos 12 talhões de lavouras em sistema de plantio direto. Barras representam o intervalo de confiança da média (p<0,05). A linha tracejada o nível crítico do indicador (NC).

Figure S5. Average values (n=36) of soil reaction (a - pH-H₂O), potassium (b - K⁺), phosphorus (c - P) and soil organic matter (d - OM), in 12 plots of crops in no tillage system. Bars represent confidence interval of mean (p<0.05). Dashed line is the indicator's critical level (CL).